



Explorando 'Toy Models' do Big-Bang Baseados em Mecânica Newtoniana Clássica de N-Corpos

Exploring Big Bang toy models based on N-body classical newtonian mechanics

Octavio Augusto Potalej
Eduardo Colli (Orientador)

IME - USP

oapotalej@usp.br



Objetivos

- A evolução de sistemas gravitacionais é complexa. Simular o problema de N-corpos é uma forma de estudá-los;
- Adicionamos colisões elásticas para evitar singularidades;
- Simular numericamente tem desafios, como a precisão nos resultados e o custo de computação. Utilizaremos *Fortran* para isso;
- A *Dinâmica de Formas* é uma teoria de gravidade que, entre outras coisas, propõe setas do tempo baseadas na gravidade. Podemos visualizar estas setas com simulações.
- Precisamos de algumas condições iniciais específicas...

1

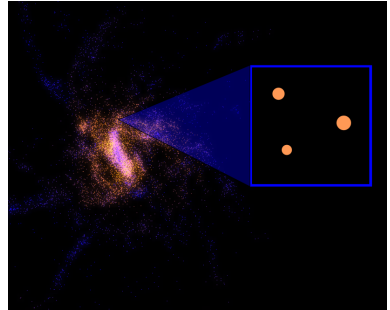


Figura: Simulação de um problema de N-corpos¹. No final, são apenas pontos.

¹Feita com o simulador de Marc Vivas: <https://github.com/MarcVivas/N-body>

Integrais primeiras e condições iniciais

Integrais primeiras do problema de N-corpos

O problema de N-corpos é conservativo. Isso significa que existem valores que se conservam durante toda a evolução do sistema, chamados *integrais primeiras*. São eles:

- ① Energia total: $E = \frac{1}{2} \sum_{a=1}^N m_a \|\dot{\mathbf{r}}_a\|^2 + V$, onde V é o *potencial*;
- ② Momento linear total: $\mathbf{P} = \sum_{a=1}^N m_a \dot{\mathbf{r}}_a = \sum_{a=1}^N \mathbf{p}_a$;
- ③ Centro de massas: $\mathbf{r}_{cm} = \frac{1}{M} \sum_{a=1}^N m_a \mathbf{r}_a$, $M = \sum_{a=1}^N m_a$;
- ④ Momento angular total: $\mathbf{J} = \sum_{a=1}^N \mathbf{r}_a \times \mathbf{p}_a$.

Consideramos o caso $E = 0$, $\mathbf{P} = \mathbf{0}$, $\mathbf{r}_{cm} = \mathbf{0}$ e $\mathbf{J} = \mathbf{0}$.

Condicionando valores iniciais

- Anular E : $\dot{\mathbf{r}}_a \mapsto \dot{\mathbf{r}}_a \sqrt{-V/(E - V)}$;
- Anular \mathbf{r}_{cm} : $\mathbf{r}_a \mapsto \mathbf{r}_a - \mathbf{r}_{cm}$;
- Anular \mathbf{P} : $\dot{\mathbf{r}}_a \mapsto \dot{\mathbf{r}}_a - \frac{1}{M} \sum_{a=1}^N m_a \dot{\mathbf{r}}_a$;
- Anular \mathbf{J} : $\dot{\mathbf{r}}_a \mapsto \dot{\mathbf{r}}_a + \mathbf{r}_a \times \boldsymbol{\omega}$, para $\boldsymbol{\omega}$ solução de $\mathbf{I}_{tot} \boldsymbol{\omega} = -\mathbf{J}$.

Simulação - Integradores numéricos

O problema de N-corpos é descrito por um sistema de equações diferenciais ordinárias. Para simular o sistema é preciso integrar numericamente essas equações. Métodos:

Runge-Kutta de Quarta Ordem (RK4)

- Método de propósito geral;
- Precisa de passo de integração pequeno para oferecer bons resultados.

Velocity Verlet (VV)

- Método simplético;
- Não precisa de passos tão pequenos para integrar sistemas conservativos.

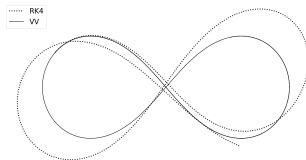


Figura: Uma das trajetórias em um problema de 3 corpos, integrado via RK4 e VV.

Simulação - Corretor numérico

Motivação: se a solução obtida com a integração numérica for suficientemente precisa, as integrais primeiras devem estar próximas de zero. Assim, a solução correta deve estar a uma projeção de distância!

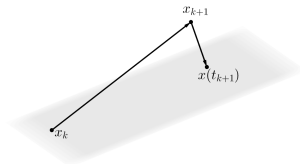


Figura: Projeção de uma aproximação x_k no plano de nível, encontrando a solução $x(t_{k+1})$.

Corretor conservativo (Formalização)

Considere um sistema conservativo $\ddot{x}(t) = F(x(t))$, $t \in I$ intervalo aberto, com valor inicial $x(t_0) = x_0$, $t_0 \in I$. Seja o vetor de k integrais primeiras do sistema $\Psi(x) = (\psi_1(x), \dots, \psi_k(x))$ e sua matriz jacobiana $J\Psi(x)$. Seja x^* uma aproximação para $y = x(t^*)$, $t^* \in I$, $t^* \neq t_0$. Vale que

$$y - x^* = J\Psi(x^*)^T \alpha, \quad (1)$$

onde α é a solução de $J\Psi(x^*)J\Psi(x^*)^T \alpha = \Psi(x_0) - \Psi(x^*)$.

Simulação - Corretor numérico (visualização)

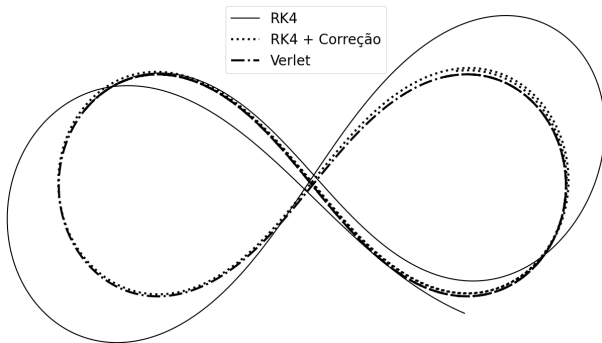


Figura: Mesmo problema de 3 corpos em forma de lemniscata, mas inclusa a trajetória com correção.

Dinâmica de Formas - Dispersão e Evolução

Voltando para a teoria...

O problema de N-corpos possui dois medidores de dispersão: o *momento de inércia* I e o *potencial* V , dados por

$$I = \frac{1}{M} \sum_{a < b} m_a m_b r_{ab}^2, \quad V = - \sum_{a < b} G \frac{m_a m_b}{r_{ab}}. \quad (2)$$

A *Relação de Lagrange-Jacobi* relaciona as duas medidas:

$$\ddot{I} = 4E - 2V. \quad (3)$$

Quando $E \geq 0$, tem-se $\ddot{I} \geq 0$, \dot{I} monótona crescente e I côncava para cima. A metade de \dot{I} é chamada *momento de dilatação*:

$$D := \frac{1}{2} \dot{I} = \sum_{a=1}^N \langle \mathbf{r}_a, \mathbf{p}_a \rangle. \quad (4)$$

O ponto de virada (mínimo) de I é chamado *Ponto de Janus*, e coincide com $D = 0$.

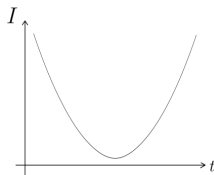


Figura: Momento de inércia

Dinâmica de Formas - Complexidade e Setas do Tempo

Comprimentos

Podemos definir dois comprimentos a partir de I e V :

- Comprimento médio da raiz quadrada: $L_{rms} = \sqrt{I/M}$.
- Comprimento harmônico médio: $L_{mhl} = M^2/|V|$.

Complexidade

A razão entre L_{rms} e L_{mhl} é chamada *complexidade*:

$$C_S := \frac{L_{rms}}{L_{mhl}} = \frac{|V|\sqrt{I}}{M^{5/2}}. \quad (5)$$

As direções de crescimento de C_S caracterizam setas do tempo, que podem ser medidas por $\tau = D/D_0$.

Primeiro resultado: Simulações numéricas

As simulações numéricas em Fortran apresentaram o resultado esperado: o método RK4 é menos preciso que o de VV, que é menos preciso que com o corretor numérico. O custo com o corretor, porém, é maior. Utilizá-lo ou não depende do objetivo com a simulação!

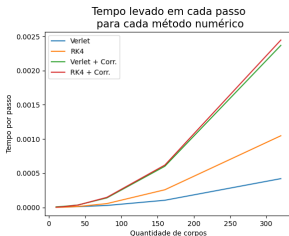


Figura: Tempo levado a cada passo de integração por quantidade de corpos em cada método.

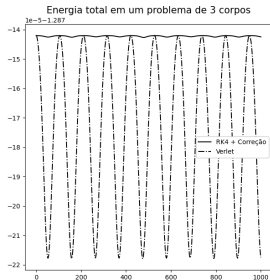


Figura: Energia total no problema de 3 corpos em forma de lemniscata.

Segundo resultado: Dinâmica de Formas

As setas do tempo previstas pela Dinâmica de Formas podem ser visualizadas com as simulações de N-corpos.

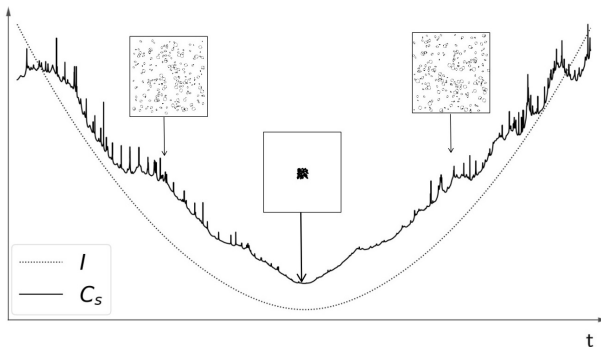


Figura: Complexidade e momento de inércia em um problema de 100 corpos.

Conclusões e pretensões

Rumos possíveis

- **Modelos mais complexos:** Os resultados da Dinâmica de Formas dependem das condições iniciais e da conservação. Pretendemos testá-los com "toy-models" mais avançados, e.g.: rotações individuais, colisões inelásticas, etc;
- **Caos:** Como ficaria o sistema com energia negativa?
- **Computação:** As simulações podem ser maiores! Computação paralela, processamento em GPU, algoritmos em árvore, etc. Cabe aprender e testar.

Referências



BARBOUR, Julian; KOSLOWSKI, Tim; MERCATI, Flavio. Identification of a Gravitational Arrow of Time. *Phys. Rev. Lett.*, American Physical Society, v. 113, p. 181101, 18 out. 2014. DOI: 10.1103/PhysRevLett.113.181101. Disponível em: <https://link.aps.org/doi/10.1103/PhysRevLett.113.181101>.



_____. The solution to the problem of time in shape dynamics. *Classical and Quantum Gravity*, IOP Publishing, v. 31, n. 15, p. 155001, jul. 2014. DOI: 10.1088/0264-9381/31/15/155001. Disponível em: <https://dx.doi.org/10.1088/0264-9381/31/15/155001>.



BERTSEKAS, Dmitri Panteli. *Nonlinear Programming*. 3ed. Nashua: Athena Scientific, 2016.



HAIRER, Ernst; WANNER, Gerhard; LUBICH, Christian. *Geometric Numerical Integration: Structure-Preserving Algorithms for Ordinary Differential Equations*. [S.l.]: Springer-Verlag, 2006. DOI: 10.1007/3-540-30666-8.



ROMA, Alexandre et al. *Métodos para a solução numérica de equações diferenciais ordinárias a valores iniciais*. São Paulo: Notas de aula, 2019.



VOLCHAN, Sérgio. *Uma Introdução à Mecânica Celeste*. Rio de Janeiro: Instituto Nacional de Matemática Pura e Aplicada - IMPA, 2007.